

Good Lattice Points の計算法について†

佐賀井 重雄** 伏見 正則**

Good Lattice Points (GLP) 法は、 s 次元単位超立方体 $I_s(=[0, 1]^s)$ 上で定義された実数値関数の、 I_s 上での定積分を数値的に求めるための有用な方法の一つである。ある種の関数族に対して、効率の良い GLP 公式を求めるための試みは以前から多数行われてきた。本論では、杉原正嗣氏によって研究された新たな関数族に対して、GLP 法の効率の良い公式を速く求める方法について述べる。そのため、まず効率を評価する尺度となる量を定義し、その尺度に照らして良い公式を求める問題が、ある max-min 問題になることを示す。そして、この問題に対する三つの算法について述べる。第1は、杉原氏によるものであり、第2はそれに改良を加えたものである。そして、第3は格子 (Lattice) 上の最短ベクトルを求めるための Dieter の算法を応用したものである。数値実験の結果、第2および第3の算法を使用すると、第1の方法よりも数倍程度速く効率の良い公式を決定できることが確認された。また、この実験の結果、いくつかの良い公式が得られたが、それらも合わせて示す。

1. ま え が き

s 次元単位超立方体 $I_s(=[0, 1]^s)$ 上で定義された実数値関数 $f(x)$ の I_s 上における定積分 $J = \int f(x) dx$ の値を次式で近似する算法は、Good Lattice Points (GLP) 法と呼ばれている。

$$S = \frac{1}{N} \sum_{k=1}^N f\left(\frac{k}{N}g\right) = \frac{1}{N} \sum_{k=1}^N f\left(\left\{\frac{k}{N}g_1\right\}, \dots, \left\{\frac{k}{N}g_s\right\}\right). \quad (1.1)$$

ただし、 $g=(g_1, \dots, g_s)$ は整数ベクトル、 $\{x\}$ は x の小数部分を表す。

ある種の関数族に含まれる関数 f に対して打切誤差 $|J-S|$ に対する評価を与え、その評価尺度に照らして良い g を探すという問題に関しては、長年にわたって多数の研究が行われてきた (例えば文献 3), 5), 7)。

一方、杉原⁶⁾は、下記の関数族 $\mathcal{E}_s(\beta, C)$ に対して同様の問題を検討し、GLP 法の有用性を示した。

$$f \in \mathcal{E}_s(\beta, C) \quad (\beta, C > 0)$$

⇔ f は、 I_s 上の実数値関数であって次のような絶対収束する多重 Fourier 級数に展開可能である。

$$f(x) = \sum_{\mathbf{h}} C_{\mathbf{h}} \exp(2\pi i \mathbf{h} \cdot \mathbf{x}) \quad (**は内積),$$

$$|C_{\mathbf{h}}| \leq C \exp\{-\beta(|h_1| + \dots + |h_s|)\} \quad (1.2)$$

ただし、 $\sum_{\mathbf{h}}$ は、あらゆる整数ベクトル $\mathbf{h}=(h_1, \dots, h_s)$ について加え合わせることを意味する。

しかしながら、良い g を探すためには、いわゆる“しらみつぶし”計算に頼らざるをえないため、 N あるいは s が大きくなるとともに計算時間が急激に増大してしまうという難点があった。そこで本論文では、良い g を探索するための時間を短縮するような算法を提案し、各算法の効率を実験によって比較し、あわせて実験の過程で得られた良い g の例を示すことにする。

2. 誤差の指標と GLP の探索問題

本章では、杉原の研究⁶⁾のうちで本論文に直接関係ある部分を要約し、誤差 $|J-S|$ に対する評価尺度と、それに基づいて良い g を求める問題がどのように定式化されるかを述べる。

公式(1.1)を関数族 $\mathcal{E}_s(\beta, C)$ に対して適用した時の誤差は、以下のようにして評価できる。

$$\begin{aligned} (J = \int f(x) dx = C_0 \text{ であることを注意}) \\ |J-S| &= \left| C_0 - \frac{1}{N} \sum_{k=1}^N \left(\sum_{\mathbf{h}} C_{\mathbf{h}} \exp\left(2\pi i \frac{k}{N} \mathbf{h} \cdot \mathbf{g}\right) \right) \right| \\ &= \left| C_0 - \sum_{\mathbf{h}} C_{\mathbf{h}} \left(\frac{1}{N} \sum_{k=1}^N \exp\left(2\pi i \frac{k}{N} \mathbf{h} \cdot \mathbf{g}\right) \right) \right| \\ &= \left| \sum_{\mathbf{h} \in H(N; \mathbf{g})} C_{\mathbf{h}} \right| \\ &\leq \sum_{\mathbf{h} \in H(N; \mathbf{g})} |C_{\mathbf{h}}| \\ &\leq C \sum_{\mathbf{h} \in H(N; \mathbf{g})} \exp\{-\beta(|h_1| + \dots + |h_s|)\} \end{aligned} \quad (2.1)$$

ただし

$$H(N; \mathbf{g}) = \{\mathbf{h} | \mathbf{h} \neq \mathbf{0}, \mathbf{h} \cdot \mathbf{g} \equiv 0 \pmod{N}, \mathbf{h} \in \mathbf{Z}^s\} \quad (2.2)$$

† On Fast Methods of Searching for Good Lattice Points Formulae by SHIGEO SAGAI and MASANORI FUSHIMI (Department of Mathematical Engineering and Instrumentation Physics, Faculty of Engineering, University of Tokyo).

** 東京大学工学部計数工学科

である。

(2.1)式の最右辺の値が小さくなるような N および \boldsymbol{g} を求めることができれば、誤差の小さい数値積分公式が得られるわけであるが、それを実行することは一般には困難である。そこで比較的扱いやすい誤差の指標となる量：

$$\rho_s(N; \boldsymbol{g}) \triangleq \min_{\boldsymbol{h} \in H(N; \boldsymbol{g})} (|h_1| + \dots + |h_s|) \quad (2.3)$$

を導入する。この時、おおよそ

$$|\text{誤差}| \sim O(e^{-\beta \rho_s(N; \boldsymbol{g})}) \quad (2.4)$$

が成立する。(2.4)式は、正確な評価式ではないが、より精密な誤差評価式が杉原⁶⁾で得られている。いずれの評価式を用いるとしても、結局は、 $\rho_s(N; \boldsymbol{g})$ が大きい公式が好ましいことには変わりがないので、以下そのような N および \boldsymbol{g} を求めることを考える。

GLP 法による数値積分公式としては、

- (i) できるだけ高い精度で結果が求まり、
- (ii) できるだけ少ない分点数でその高い精度が実現できる

ものが望ましい。

(i)の点に関して考えると、次元数 s および分点数 N が与えられた場合、

$$\max_{\boldsymbol{g} \in G(N)} \rho_s(N; \boldsymbol{g}) = \max_{\boldsymbol{g} \in G(N)} \min_{\boldsymbol{h} \in H(N; \boldsymbol{g})} (|h_1| + \dots + |h_s|) \quad (2.5)$$

$$G(N) = \{\boldsymbol{g} | \boldsymbol{g} = (g_1, \dots, g_s), \\ 1 \leq g_k \leq N/2 \quad (k=1, \dots, s)\} \quad (2.6)$$

を実現するような \boldsymbol{g} を決定すればよい。これは誤差の評価式 (2.1) における誤差のオーダーの改善することに等しい。

一方(ii)については、 $\rho_s^*(N) = \max_{\boldsymbol{g} \in G(N)} \rho_s(N; \boldsymbol{g})$ の値が等しい N が一般に複数個あるので、そのうちで最小のものを選ぶのがよい。 $\rho_s^*(N) = j$ を実現する最小の N を N_j と書くことにするとき、もしも $N_j < N'$ 、 $\rho_s^*(N_j) \geq \rho_s^*(N')$ となったとすると、分点数として N' を用いる公式は、 N_j を用いる公式より劣るので、採用しないのがよい。したがって、さまざまな精度について好ましい N の値を求めるためには、結局、 N の値を小さい方から1ずつ増加させて $\rho_s^*(N)$ の値を求めていき、初めて過去の $\rho_s^*(N)$ の最大値を上まわった N をつぎつぎに採用すればよいことになる。

3. GLP 探索上の問題点と対策

第2章の最後に述べたことを忠実に実行して、厳密な意味で最適な \boldsymbol{g} および N を探索しようとする、 N

を動かしながら、各 N について \boldsymbol{g} と \boldsymbol{h} とを動かして総当たり (しらみつぶし) 計算を行わなければならない、探索時間が次元数 s の増加とともに爆発的に増大することになり、事実上、探索は困難である。そこで本論文では、いくつかの点で探索時間を減少させることを試みる。そのうちで最も重点を置いたものは、 N と \boldsymbol{g} を固定して

$$\rho_s(N; \boldsymbol{g}) = \min_{\boldsymbol{h} \in H(N; \boldsymbol{g})} (|h_1| + \dots + |h_s|)$$

を求める際に、最適性をそこなうことなく、 \boldsymbol{h} の探索範囲を狭める試みである。これについては、第4章で詳しく述べる。

次に、 \boldsymbol{g} の探索範囲を (2.6) の $G(N)$ から、下記の $G_0(N)$ に制限することによって探索時間を減少させる。

$$G_0(N) = \{\boldsymbol{g} | \boldsymbol{g} = (1, g, g^2, \dots, g^{s-1}), g \text{ は } N/2 \text{ 以下の奇数, } g^s \text{ は mod } N \text{ で考える}\} \quad (2.7)$$

これによって、 N が与えられた場合の \boldsymbol{g} に関する探索の手間は $O(N^s)$ から $O(N)$ に減少する。このようにしたとき、一般に最適性はそこなわれるが、それがそれほど大きくはないことが、後出の数値実験の結果によって示唆される。また、このようなタイプの \boldsymbol{g} は従来の研究でもよく用いられてきたものであり、Korobov 型の GLP と呼ばれている。

なお、 N に関する探索については、次章で述べることにする。

4. 算 法

4.1 算法 A1 (杉原の算法)

ミンコフスキーの不等式 (文献 1) などを参照のこと) に基づく、次の定理を用いて、 \boldsymbol{h} の探索範囲を限定する。

定理 任意の $N \in \mathbb{Z}$ 、 $\boldsymbol{g} \in \mathbb{Z}^s$ に対して、

$$\rho_s(N; \boldsymbol{g}) = \min_{\boldsymbol{h} \in H(N; \boldsymbol{g})} \left(\sum_{j=1}^s |h_j| \right) \leq \sqrt[s]{s! N}$$

これを用いると、 $\rho_s(N; \boldsymbol{g})$ は、次式によって計算できる。

$$\rho_s(N; \boldsymbol{g}) = \min (\|g_1 h_1 + \dots + g_s h_s\|_N + |h_2| + \dots + |h_s|) \quad (4.1)$$

ただし、min は、

$$\begin{aligned} h_2 \geq 0, (h_2, \dots, h_s) \neq 0 \\ |h_2| + \dots + |h_s| \leq \lfloor \sqrt[s]{s! N} \rfloor \\ h_2, \dots, h_s \in \mathbb{Z} \end{aligned} \quad (4.2)$$

の範囲で探せばよい。

ここに、 $\|x\|_N = \min \{\text{mod}(x, N), N - \text{mod}(x, N)\}$,

$\text{mod}(x, N)$ は x を N で割ったときの余り, $[y]$ は y の整数部である.

この式を用いたときには, 格子点 (h_1, \dots, h_s) の個数は $O(N^{(s-1)/2})$ となるので, $\rho_s(N; g)$ は, $O(N^{(s-1)/2})$ の手間で求められる. したがって $\max_{g \in G_s(N)} \rho_s(N; g)$ を求める手間は, $O(N \cdot N^{(s-1)/2}) = O(N^{(2s-1)/2})$ となる.

4.2 算法 A2 (A1 に分枝限定的な考え方を取り入れた算法)

これは, $\rho_s(N; g)$ を求めるためには公式 (4.1) を使用するが, $\max_g \rho_s(N; g)$ を求める際に, 問題全体としてみたときには max-min 問題 (2.5) となっていることを利用し, h に関する探索の段階で, 次のようにして不要な探索を行わないようにするものである:

ある $g = g^*$ に対して $\rho_s(N; g)$ を求める際に, それ以前に調べたすべての g の中での $\rho_s(N; g)$ の最大値 ρ_{\max} を保存しておき, g^* に関する h の探索の途中で,

$$\rho_s(N; g) \leq \rho_{\max}$$

となることが判明したら, それ以後の h に関する探索を打ち切る.

4.3 算法 A3 (Dieter の算法)

以下に紹介する Dieter²⁾ の算法は, s 次元ユークリッド空間における格子 (Lattice) L において最短のノルムを求めるための算法である. この算法は, 本来は合同法乱数発生のためのよい乗数を求めるために考案されたものであるが, ここでは, 積分の効率化への適用可能性を検討してみる.

L は s 本の線形独立な基底ベクトル $e_i (1 \leq i \leq s)$ によって張られるものとする. すなわち,

$$L = \left\{ x = \sum_{k=1}^s z_k e_k \mid z_i \in Z, 1 \leq i \leq s \right\}$$

である. また, L に対して, 共役な格子 L^* は,

$$L^* = \left\{ x^* = \sum_{k=1}^s z_k^* e_k^* \mid z_i^* \in Z, 1 \leq k \leq s \right\}$$

によって定義される. ここに

$$e_i \cdot e_i^* = \delta_{ii} \quad (\text{クロネッカーのデルタ}) \quad (4.3)$$

である.

さらに L および L^* には, ノルム $\|\cdot\|$ および $\|\cdot\|^*$ が導入されているものとする. たとえば, $x = (x_1, \dots, x_s)$ として, L における x のノルムを

$$\|x\| = \sum_{j=1}^s |x_j|$$

ととれば, L^* における $x^* = (x_1^*, \dots, x_s^*)$ のノルム (共役ノルム) は

$$\|x^*\|^* = \max_{1 \leq k \leq s} |x_k^*|$$

となる.

Dieter の算法において基本となるのは, 次式である.

$$|x^* \cdot x| \leq \|x^*\|^* \|x\| \quad (4.4)$$

ここで, x として, L における 0 でないノルム最小のベクトル w ,

$$w = z_1 e_1 + \dots + z_s e_s \quad (4.5)$$

をとれば, (4.3) ~ (4.5) 式により

$$\begin{aligned} |z_i| &= |e_i^* \cdot (z_1 e_1 + \dots + z_s e_s)| \\ &= |e_i^* \cdot w| \leq \|e_i^*\|^* \|w\| \end{aligned} \quad (4.6)$$

が成立する. w は計算の途中では不明であるが, $\|w\| \leq \min_{1 \leq j \leq s} \|e_j\|$ であるから, (4.6) から

$$|z_i| \leq \|e_i^*\|^* \min_{1 \leq j \leq s} \|e_j\| \quad (4.7)$$

が導かれる. すなわち, 基底ベクトルから, w を構成するための係数 $z_i \in Z (1 \leq i \leq s)$ は, (4.7) 式を満たす範囲内にしか存在しないことがわかる. したがって w を求めるためには,

$$C_i = [\|e_i^*\|^* \min_{1 \leq j \leq s} \|e_j\|], 1 \leq i \leq s \quad (4.8)$$

とおけば, e_i の各係数 z_i に対して正負合わせて $(2C_i + 1)$ 通り, 全体では,

$$P = \prod_{i=1}^s (2C_i + 1) \quad (4.9)$$

通りの組合せについて探索を行えばよい. ただし, P が大きければ探索回数が大きくなってしまいますので, その場合には下記の基底変換の組 (unimodular 変換の一つ) を施して, 基底系の最小ノルムが小さくなるようにする:

基底変換

$$T_i: \left. \begin{matrix} e_i \leftarrow e_i \\ e_i^* \leftarrow e_i^* + \sum_{k \neq i} m_k e_k^* \end{matrix} \right\} \left. \begin{matrix} e_k \leftarrow e_k - m_k e_i \\ e_k^* \leftarrow e_k^* \end{matrix} \right\} k \neq i \quad (4.10)$$

$$T_i^*: \left. \begin{matrix} e_i^* \leftarrow e_i^* \\ e_i \leftarrow e_i + \sum_{k \neq i} m_k^* e_k \end{matrix} \right\} \left. \begin{matrix} e_k^* \leftarrow e_k^* - m_k^* e_i^* \\ e_k \leftarrow e_k \end{matrix} \right\} k \neq i \quad (4.11)$$

ここに,

$$\begin{aligned} m_k &= [0.5 + e_i \cdot e_k / e_i \cdot e_i], \\ m_k^* &= [0.5 + e_i^* \cdot e_k^* / e_i^* \cdot e_i^*] \end{aligned}$$

である.

変換 $T_i (T_i^*)$ を施す際, いずれかの $m_k (m_k^*) (k \neq i)$ が 0 ではないならば, $T_i (T_i^*)$ は有効であるといい, そうでなければ (すべての $m_k (m_k^*)$ が 0) $T_i (T_i^*)$ は

無効であると呼ぶことにする。ある段階ですべての $T_i(T^*)$, $1 \leq i \leq s$, が無効であっても、いったん $T_j(T^*)$ を施した後は、 $T_i(T^*)$ が有効となることがある。

以上をまとめると、次のような算法が得られる。
 M を十分大きな定数とする。

Dieter の算法

- 1° $C = M$; $\text{flag} = -1$; $i = s+1$;
 格子の基底系 $\{e_i\}$ を与え, $\{e_i^*\}$ を求める。
- 2° C_k ($k=1 \sim s$) および P をそれぞれ (4.8), (4.9) 式で計算。
 if $P < C$ then
 $t^* = s$; $t = s$; $C = P$; 3° へ飛ぶ。
 else
 if $\text{flag} = 1$ then $t^* = t^* - 1$
 else $t = t - 1$
 if $t^* = 0$ then 4° へ飛ぶ。
- 3° if $t^* + t = 0$ then 5° へ飛ぶ。
 $i = i - 1$; if $i = 0$ then $i = s$.
 $k=1 \sim s$, $k \neq i$ なる k に関して, m_k^* を計算。
 変換 T_i が有効でない場合:
 $t^* = t^* - 1$; if $t^* = 0$ then 4° へ飛ぶ。
 else 3° を再実行。
 変換 T_i が有効である場合:
 変換 T_i を (4.10) 式に従って $\{e_i\}$, $\{e_i^*\}$ に施す。
 $\text{flag} = -1$; 2° へ飛ぶ。
- 4° if $t^* + t = 0$ then 5° へ飛ぶ。
 $i = i - 1$; if $i = 0$ then $i = s$.
 $k=1 \sim s$, $k \neq i$ なる k に関して, m_k を計算。
 変換 T_i^* が有効でない場合:
 $t = t - 1$; if $t = 0$ then 3° へ飛ぶ。
 else 4° を再実行。
 変換 T_i^* が有効である場合:
 変換 T_i^* を (4.11) 式に従って $\{e_i^*\}$, $\{e_i\}$ に施す。
 $\text{flag} = 1$; 2° へ飛ぶ。
- 5° $-C_i \leq z_i \leq C_i$, $1 \leq i \leq s$ を満たすすべての整数の組合せを調べ, ノルム最小のベクトル w (4.5) を選ぶ。

この算法を、当面のわれわれの目的に対して適用すると、次のようになる。

$$h \cdot g = h_1 + g h_2 + \dots + g^{s-1} h_s \equiv 0 \pmod{N},$$

$$h_1, h_2, \dots, h_s \in \mathbb{Z} \tag{4.12}$$

を h に関する方程式とみなすと、そのすべての解は、

$$h = \begin{bmatrix} h_1 \\ h_2 \\ \vdots \\ h_s \end{bmatrix} = k \begin{bmatrix} N \\ 0 \\ \vdots \\ 0 \end{bmatrix} + h_2 \begin{bmatrix} -g \\ 1 \\ 0 \\ \vdots \\ 0 \end{bmatrix} + \dots + h_s \begin{bmatrix} -g^{s-1} \\ 0 \\ \vdots \\ 0 \\ 1 \\ 0 \\ \vdots \\ 0 \end{bmatrix} < k$$

$$+ \dots + h_s \begin{bmatrix} -g^{s-1} \\ 0 \\ \vdots \\ 0 \\ 1 \end{bmatrix} \tag{4.13}$$

という形に書き表せる。ここに、 k, h_2, \dots, h_s は任意の整数である。したがって、(4.12) の解の集合は格子となるので、これに Dieter の算法を適用できる。

なお、上述のアルゴリズムをそのままプログラム化した場合 P の値が大きくて、各 z_i に関する全数探索が効率的に行えない場合が多い。そこで実際のプログラムにおいては、4° のステップで 2° へ飛ぶ直前を次のように変更した: M^* を 5 程度の定数とし、プログラムの初めで $k^* = 0$ とおいておくものとする。

- ```

if $t + t^* = 0$ then
 if $k^* \leq M^*$ then
 $t = s$; $t^* = s$; $k^* = k^* + 1$; 3° へ飛ぶ。

```

上述の方法を取り入れることで、変換の回数は増加するが、 $P$  の値が小さくなり、5° の全数探索の範囲が小さくてすむようになった。

この算法では、必要な計算時間の主たる部分は、基底を変換する部分であるため、平均的には基底変換がある回数で抑えられるものとするれば、与えられた  $N, g$  に対して  $\rho_s(N; g)$  を求める時間は、ほぼ  $O(s^2)$  となり、 $N$  とは無関係になる。したがって  $\max_{g \in G_s(N)} \rho_s(N; g)$  を求める手間は平均的に  $O(Ns^2)$  である。

**5. 数値実験**

**5.1 計算時間の比較**

前章までで述べた三つの算法に関して、どの算法によるのが一番速く効率の良い GLP 公式を決定できるかを調べるために、それぞれの算法で同じ  $N$  に対して  $\max_{g \in G_s(N)} \rho_s(N; g)$  を計算する時間の比較を、次元数  $s = 4, 5, 6$  について行った。その結果を図 1~図 3 に示

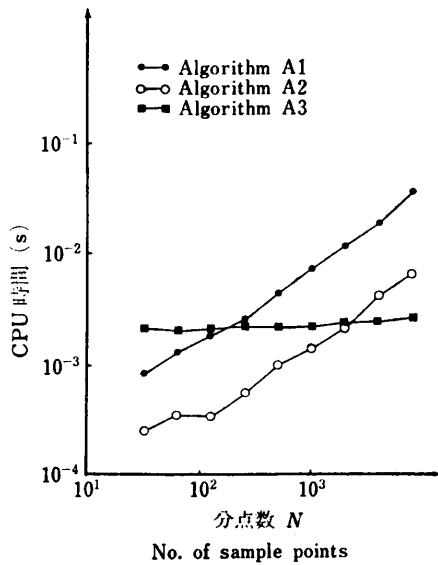


図 1  $\rho_s(N; \theta)$  を求めるための平均 CPU 時間 ( $|G_s(N)|$  個の  $\theta$  に対する平均値)  
 Fig. 1 Average CPU time to calculate  $\rho_s(N; \theta)$  (Average is based on the total CPU time corresponding to all  $\theta$ 's in  $G_s(N)$ ).

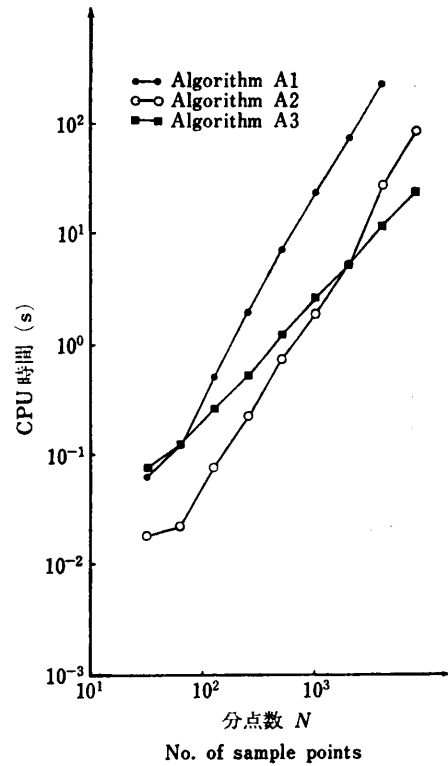


図 3  $\max_{\theta} \rho_s(N; \theta)$  を求めるための CPU 時間  
 Fig. 3 CPU time to calculate  $\max_{\theta} \rho_s(N; \theta)$ .

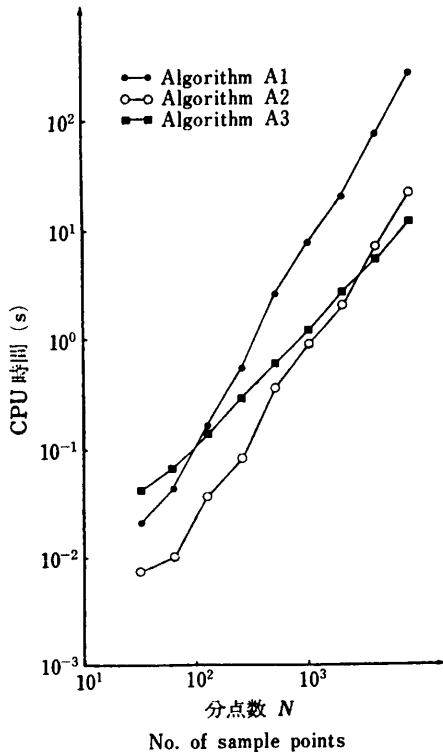


図 2  $\max_{\theta} \rho_s(N; \theta)$  を求めるための CPU 時間  
 Fig. 2 CPU time to calculate  $\max_{\theta} \rho_s(N; \theta)$ .

す。

なお、使用計算機は、東京大学大型計算機センター HITAC M-280 H, 最適化 FORTRAN 77 (OPT=3) である。

図 2, 3 は、 $\max_{\theta \in G_s(N)} \rho_s(N; \theta)$  を  $s=5, 6$  の場合に計算するためにかけた CPU 時間をいろいろな  $N$  の値に対して測定した結果を示したものである。また、 $s=4$  の場合について同様の計算をする際の 1 個の  $\theta$  当たりの平均 CPU 時間を示したのが図 1 である。図 1 を見ると算法 A3 については、平均 CPU 時間がほぼ一定であり、(p. 658 で述べた) “平均的には  $N$  によらない” という仮定の正当性を裏付けている。

図 1 ~ 図 3 のどの図においても、杉原の算法 A1 と比較すると、分枝限定的な考えを取り入れた算法 A2 の効果は明白である。また、算法 A2 と Dieter の算法 A3 とを比較すると、分点数  $N$  が比較的小さいうちは、算法の単純な A2 の方が速いが、 $N$  が大きくなってくると、平均的な手間のオーダが勝っている A3 の方が有利となってくる。実際に、図 2 および 3 を見ると、A1, A2 は  $N$  に関してほぼ 2 乗のオーダで CPU 時間が増大しているが、A3 は  $N$  に関しては線形の

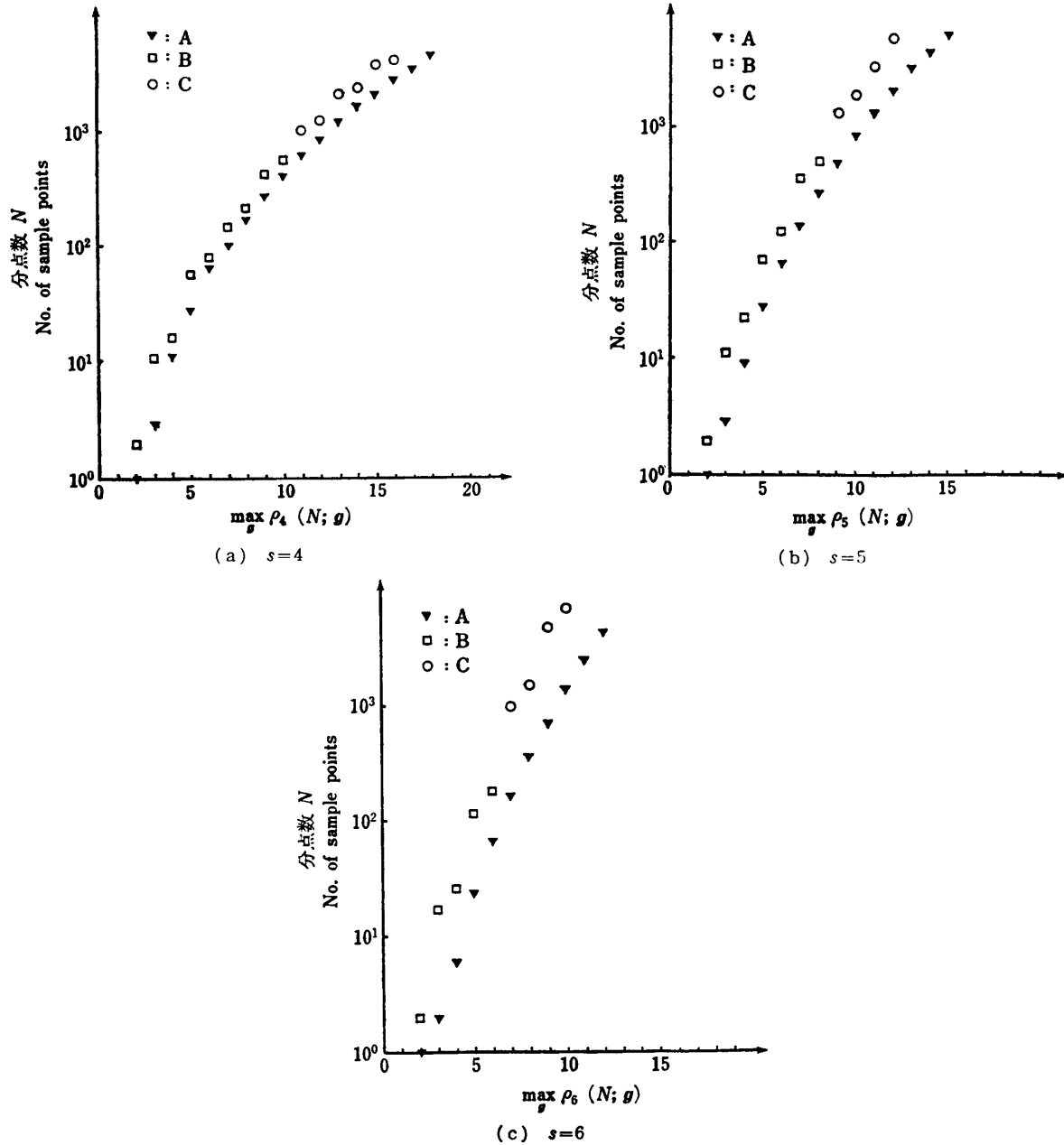


図 4  $\max_g \rho_s(N; g)$  と、それを実現する最小の  $N$  との関係

- A: 定理から得られる  $N$  の下界
- B: 実験で得られた  $N$  (最小値であることが確認されたもの)
- C: 実験で得られた  $N$  (最小値であるかどうかは未確認)

Fig. 4 Relationship between  $\max_g \rho_s(N; g)$  and the number of samples  $N$ .

- A: The lower bound for  $N$  given by the Theorem.
- B: Minimum  $N$  which attains  $\max_g \rho_s(N; g)$ .
- C: Smallest  $N$  which attains  $\max_g \rho_s(N; g)$  found by the numerical computation.

表 1  $\max_{\theta} \rho_s(N; \theta)$  と  $N, \theta$   
 Table 1  $\max_{\theta} \rho_s(N; \theta)$  and  $N, \theta$ .

(a)  $s=4$

| $\max_{\theta} \rho_s(N; \theta)$ | A    | B    | $\theta$            | C  |
|-----------------------------------|------|------|---------------------|----|
| 2                                 | 1    | 2    | (1, 1, 1, 1)        | 2  |
| 3                                 | 3    | 11   | (1, 5, 3, 4)        | 4  |
| 4                                 | 11   | 16   | (1, 5, 9, 13)       | 4  |
| 5                                 | 27   | 57   | (1, 11, 7, 20)      | 6  |
| 6                                 | 54   | 80   | (1, 37, 9, 13)      | 6  |
| 7                                 | 100  | 191  | (1, 59, 43, 54)     | 8  |
| 8                                 | 171  | 226  | (1, 95, 211, 157)   | 8  |
| 9                                 | 274  | 435  | (1, 191, 376, 41)   | 10 |
| 10                                | 417  | 562  | (1, 221, 509, 89)   | 10 |
| 11                                | 610  | 1009 | (1, 247, 469, 817)  | 12 |
| 12                                | 864  | 1248 | (1, 151, 337, 967)  | 13 |
| 13                                | 1191 | 2061 | (1, 137, 220, 1268) | 14 |
| 14                                | 1601 | 2320 | (1, 389, 521, 829)  | 15 |
| 15                                | 2110 | 3677 | (1, 673, 658, 1594) | 17 |
| 16                                | 2731 | 3950 | (1, 377, 3879, 883) | 18 |

(b)  $s=5$

| $\max_{\theta} \rho_s(N; \theta)$ | A    | B    | $\theta$                  | C  |
|-----------------------------------|------|------|---------------------------|----|
| 2                                 | 1    | 2    | (1, 1, 1, 1, 1)           | 2  |
| 3                                 | 3    | 11   | (1, 5, 3, 4, 9)           | 4  |
| 4                                 | 9    | 22   | (1, 9, 15, 3, 5)          | 4  |
| 5                                 | 27   | 71   | (1, 25, 57, 5, 54)        | 6  |
| 6                                 | 65   | 124  | (1, 33, 97, 101, 109)     | 6  |
| 7                                 | 141  | 363  | (1, 161, 148, 233, 124)   | 8  |
| 8                                 | 274  | 502  | (1, 113, 219, 149, 271)   | 9  |
| 9                                 | 493  | 1333 | (1, 163, 1242, 1163, 283) | 10 |
| 10                                | 834  | 1899 | (1, 55, 1126, 1162, 1243) | 11 |
| 11                                | 1343 | 3301 | (1, 197, 2498, 257, 1114) | 13 |
| 12                                | 2073 | 5959 | (1, 13, 169, 2197, 4725)  | 14 |

オーダになっているのがわかる。

5.2 効率の良い  $N$  および  $\theta$

算法 A2 および A3 を使って効率の良い  $N$  および  $\theta$  を求めることを試みた。厳密な意味で最適な  $N$  を求めるためには、2章の最後に述べているように、 $N$  を1ずつ増して  $\max_{\theta \in G_s(N)} \rho_s(N; \theta)$  を計算しなければならぬが、それでは計算時間が爆発的に増大するので、 $N$  がある程度以上大きくなった場合には、ほぼ次のような簡略法を用いた。

それまでに効率の良い GLP が求められている  $N$  の最大値を  $N_0$  とする。  $N_0$  より (例えば 2 倍程度) 大きな  $N = N^*$  で、

$$\max_{\theta \in G_s(N)} \rho_s(N; \theta) > \max_{\theta \in G_s(N_0)} \rho_s(N_0; \theta) \quad (5.1)$$

を満たすものを探す。以下、 $N_0 < N < N^*$  の範囲を探

(c)  $s=6$

| $\max_{\theta} \rho_s(N; \theta)$ | A    | B    | $\theta$                         | C  |
|-----------------------------------|------|------|----------------------------------|----|
| 2                                 | 1    | 2    | (1, 1, 1, 1, 1, 1)               | 3  |
| 3                                 | 2    | 17   | (1, 3, 9, 10, 13, 5)             | 4  |
| 4                                 | 6    | 26   | (1, 7, 23, 5, 9, 11)             | 5  |
| 5                                 | 23   | 117  | (1, 29, 22, 53, 16, 113)         | 6  |
| 6                                 | 65   | 182  | (1, 23, 165, 155, 107, 95)       | 7  |
| 7                                 | 164  | 991  | (1, 173, 199, 733, 952, 190)     | 9  |
| 8                                 | 365  | 1517 | (1, 319, 122, 933, 1231, 1303)   | 10 |
| 9                                 | 739  | 3991 | (1, 165, 3279, 2250, 87, 2382)   | 11 |
| 10                                | 1389 | 6903 | (1, 683, 5905, 3005, 5375, 5644) | 13 |

A: 定理から得られる  $N$  の下界

B: 実験で得られた  $\max_{\theta} \rho_s(N; \theta)$  を実現する  $N$

C:  $N=B$  欄の分点数とおいた時の  $\max_{\theta} \rho_s(N; \theta)$  の上限

A: The lower bound for  $N$  given by the Theorem.

B: Smallest  $N$  which attains  $\max_{\theta} \rho_s(N; \theta)$  found by the numerical computation.

C: The least upper bound for  $\max_{\theta} \rho_s(N; \theta)$ , where  $N=(\text{sample number } N \text{ in column B in the same row of the table})$ .

索することによって、なるべく小さな  $N$  で (5.1) を満たすものを探す。

図 4 は、 $s=4, 5, 6$  について、このようにして求められた  $N$  と  $\max_{\theta} \rho_s(N; \theta)$  との関係を示したものである。横軸は  $\max_{\theta} \rho_s(N; \theta)$  の値を示し、縦軸は対応する  $N$  の値を示している。□印は、その  $N$  が  $\max_{\theta} \rho_s(N; \theta)$  を実現する最小値であることが確認されているものであるが、○印については最小値かどうかは未確認である。しかし、定理によって与えられる  $N$  の下界 (▼印) と比べて、それほど大きくはない。なお、各実験点に対する  $\theta$  の値を表 1 に示しておく。

図 4 から、また表 1 の C 欄の数値と対応する  $\max_{\theta} \rho_s(N; \theta)$  欄の数値を比較することによって、 $\theta$  を (2.6) の  $G_0(N)$  に属するもの (Korobov 型) に限っても、本論文で考えている指標の意味での効率はそれほど悪くならないことがわかる。

6. むすび

GLP 法の効率の良い公式をできるだけ短い計算時間で求める方法を提案し、実際に数値実験を行い、その有用性を確認した。また、その算法を使用して次元数  $s=5, 6$  で分点数がある程度大きな公式を実際に求めた。また、それによると、Korobov 型の GLP でも、それほど効率が低下しないことがわかった。

なお、計算時間を短縮するという観点から見ると、ベクトル計算機を使用することが考えられるが、上述の算法を実際にプログラム化したとき、そのループ長としては、 $[\sqrt{s!N}]$  (算法 A1, A2),  $s$  (算法 A3) 程度にしかならないため、飛躍的な計算時間の短縮はできなかった。ベクトル計算機向けの算法ないしはプログラムの開発は、今後の検討課題である。

### 参 考 文 献

- 1) Cassels, J. W. S.: *An Introduction to the Geometry of Numbers*, 343 pp., Springer-Verlag, Berlin (1959).
- 2) Dieter, U.: How to Calculate Shortest Vectors in a Lattice, *Math. Comp.*, Vol. 29, No. 131, pp. 827-833 (1975).
- 3) Kedem, G. and Zaremba, S. K.: A Table of Good Lattice Points in Three Dimensions, *Numer. Math.*, Vol. 23, pp. 175-180 (1974).
- 4) Knuth, D. E.: *The Art of Computer Programming*, Vol. 2, *Seminumerical Algorithms*, 2nd ed., Addison-Wesley, Reading, Mass. (1981).
- 5) Niederreiter, H.: Quasi-Monte Carlo Method and Pseudo-Random Numbers, *Bull. Amer. Math. Soc.*, Vol. 84, No. 6, pp. 957-1041 (1978).
- 6) 杉原正顯: Good Lattice Points を用いた多重数値積分, 京都大学数理解析研究所講究録, No. 483, pp. 249-283 (1983).

- 7) Zaremba, S. K.: Good Lattice Points, Discrepancy and Numerical Integration, *Ann. Mat. Pura Appl.* (iv), Vol. 73, pp. 293-318 (1966).

(昭和60年7月3日受付)

(昭和61年4月17日採録)



佐賀井重雄 (正会員)

昭和36年生。昭和59年東京大学工学部計数工学科卒業。昭和61年同大学院工学系研究科修士課程修了。同年(財)電力中央研究所に入所。現在、経営情報システムの開発などに従事している。



伏見 正則 (正会員)

昭和14年生。昭和38年東京大学工学部応用物理学科(数理工学専攻)卒業。昭和43年同大学院博士課程修了。工学博士。埼玉大学講師、助教授を経て、昭和49年東京大学助教授(工学部計数工学科)となり現在に至る。応用統計学、オペレーションズ・リサーチ等の研究に従事。日本オペレーションズ・リサーチ学会、応用統計学会、日本数学会、American Statistical Association 等各会員。